

К РАСЧЕТУ РАЗМЫВАЕМОСТИ И ПЕРЕФОРМИРОВАНИЯ БЕРЕГОВЫХ СКЛОНОВ ЗЕМЛЯНЫХ РУСЕЛ

Ш.ГАГОШИДЗЕ, Т. ЛОРДКИПАНИДЗЕ

Рассматривается приближенная теория волнового вдольберегового движения в канале, сообщаемом с морем, и строится методика прогнозирования деформации его береговых склонов. Одним из самых характерных свойств вдольбереговых волн является рост их высоты вблизи береговой линии. Это свойство рельефно проявляется в точном решении Стокса, касающемся, однако, только волн на береговых склонах, бесконечно уходящих в глубину моря. Для каналов с конечной глубиной и с замкнутым контуром (в частности, трапецидальных) используется метод вшивания решений волновых уравнений, записанных в цилиндрической и прямоугольной системе координат соответственно для участков, ограниченных береговыми склонами и горизонтальным дном канала.

Ключевые слова: земляные русла, переформирование склонов, вдольбереговые волны, замкнутый контур, метод вшивания, трапецидальный канал.

Введение

Волны, вторгшиеся в устья рек со стороны моря, также, как и ветровые и корабельные волны, в относительно нешироких вытянутых водоемах и каналах имеют в основном вдольбереговое направление. Самым характерным свойством этих волн является рост их высоты вблизи береговой линии, или, наоборот, - уменьшение амплитуды, зафиксированной у берега, в сторону больших глубин. Это свойство вдольбереговых волн отражается в трех точных, но частных решениях, принадлежащих Стоксу, Келланду и Макдональду [1,2]. Стокс рассмотрел распространение коротких волн вдольберегового склона произвольного наклона, однако бесконечно уходящего в глубину моря. Келланду и Макдональду принадлежат два точных решения для волн на неподвижной воде в каналах, имеющих треугольные поперечные сечения с бортами, наклонными к вертикали соответственно под углом 45° и 60° . Отсутствие точных общих решений для прогрессивных волн в треугольном канале с произвольно наклонными откосами (не говоря уже о каналах трапецидального поперечного сечения), разумеется, объясняется математическими сложностями.

Имея в виду большую практическую значимость проблемы изучения воздействия волн на береговые откосы каналов и русел рек, ниже вкратце предлагаются основные результаты приближенной теории распространения вдольбереговых волн, наложенных на поверхность стационарного течения воды в трапецидальном канале с произвольно наклонными береговыми откосами [3]. Использование этих результатов демонстрируется на примере оценки устойчивости и деформации берегового склона земляного трапецидального русла.

1. Приближенная теория вдольбереговых волн в канале

Используя стандартные приемы преобразования координат, легко можно убедиться, что известные уравнения и граничные условия волновых возмущений, наложенных на равномерное течение и записанных в прямоугольной системе координат [1,4], в цилиндрической системе координат, приведенной на рис.1, принимают следующий вид [3]:

$$\left(\sinh \frac{2kh_0}{\cos \alpha_0} + \frac{2kh_0}{\cos \alpha_0} \right) F''(\alpha) + \left(\frac{kh_0}{\cos \alpha_0} \cosh \frac{2kh_0}{\cos \alpha_0} - \frac{1}{2} \sinh \frac{2kh_0}{\cos \alpha_0} \right) F(\alpha) = 0. \quad (6)$$

Решение этого уравнения с учётом обозначения (4) и граничного условия (3) имеет вид:

$$F(\alpha) = C \cos m(\alpha \mp \alpha_0), \quad (7)$$

где C – произвольная постоянная, подлежащая определению или в пределах прямоугольной части канала (точнее - над точкой O' , приведенной на рис.1), либо же вдоль береговой линии (т.е. над точкой B).

Через m обозначена величина

$$m = \pm \left[\frac{\frac{kh_0}{\cos \alpha_0} \coth \frac{2kh_0}{\cos \alpha_0} - \frac{1}{2}}{1 + \frac{2kh_0}{\cos \alpha_0} \left(\sinh \frac{2kh_0}{\cos \alpha_0} \right)^{-1}} \right]^{1/2}, \quad (8)$$

от которой зависит конфигурация волновой поверхности в направлении, ортогональном направлению вдольбереговых волн. В частности, в зависимости от m , гребни и ложбины вдольбереговых волн в поперечном направлении канала могут быть сплошными или образовать цепочку стоячих волн с узловыми линиями, параллельными береговой линии. Количество этих узловых линий определяется знакопеременностью функции $F(\alpha)$ в пределах берегового склона и равно целой части числа n , вычисляемого по формуле

$$n = \frac{m\alpha_0}{\pi} + \frac{1}{2}, \quad (9)$$

где α_0 выражение в радианах.

При $n < 1$ (т.е. когда $n=0$) имеем дело с соизмеримыми или относительно длинными по сравнению с глубиной и шириной канала вдольбереговыми волнами, гребни и ложбины которых, не пересекая уровень невозмущенной поверхности воды, занимают всю ширину канала.

При $n \geq 1$ (т.е. при $n=1; 2; \dots$) гребни и ложбины вдольбереговых (относительно коротких) волн в поперечном направлении канала образуют вышеупомянутую волнистую поверхность со стационарными узловыми линиями (что и изображено на рис.1).

Предельная длина вдольбереговой волны, при которой происходит переход из одного случая в другой, определяется равенством

$$\lambda^* = 2\pi h_0 / (0,5 + \pi^2 / 4\alpha_0^2) \cos \alpha_0. \quad (10)$$

Основная сложность рассматриваемой задачи заключается в соблюдении динамического граничного условия (2) на свободной поверхности потока. Не вдаваясь в подробности допущений, принятых в [3], укажем, что анализ предельного поведения динамического граничного условия (2) в случае $\lambda > \lambda^*$ ($n=0$) приводит к приближенному дисперсионному соотношению

$$(\sigma - kU_0)^2 = gk \cos \alpha_0 \tanh(kh_0 / \cos \alpha_0), \quad (11)$$

которое во втором случае, т.е. при $\lambda \leq \lambda^*$ (или $n \geq 1$), переходит в дисперсионное соотношение Стокса для коротких краевых волн [1,2]

$$(\sigma - kU_0)^2 = gk \cos \alpha_0. \quad (12)$$

При $n=0$ произвольную постоянную C следует нормировать через амплитуду a_0 , заданную над подошвой берегового склона с требованием, чтобы трехмерные решения в треугольной части канала плавно перерастали в известные решения для двухмерных волн в прямоугольной части канала. Тогда с учетом обозначений (4), (5) и (7) для потенциала скорости у правого берега канала получим

$$\varphi = a_0 \frac{g}{\sigma - kU_0} \frac{\operatorname{ch}(kr)}{\operatorname{ch}(kh_0)} \frac{\cos m(\alpha - \alpha_0)}{\cos(m\alpha_0)} \cos(\sigma t \pm kx). \quad (12)$$

С этим же требованием, при больших n постоянную C целесообразно нормировать (хотя это не имеет принципиального значения) через амплитуду a' , заданную вдоль береговой линии (описываемой в принятой системе координат уравнением $r = h_0 / \cos \alpha_0$).

Тогда для φ получим

$$\varphi = a' \frac{g}{\sigma - kU_0} \frac{\operatorname{ch}(kr)}{\operatorname{ch}(kh_0 / \cos m\alpha_0)} \cos m(\alpha - \alpha_0) \cos(\sigma t \pm kx). \quad (13)$$

Во всех случаях связь между амплитудами a' и a_0 выражается зависимостью

$$\frac{a'}{a_0} = \left| \frac{\cosh(kh_0 / \cos m\alpha_0)}{\cosh kh_0 \cos m\alpha_0} \right|, \quad (14)$$

согласно которой a' всегда больше a_0 и значительно превосходит её при больших kh_0 , т.е. при наличии коротких вдольбереговых волн. При этом вдольбереговые волны смачивают береговой откос до отметки, приближенно определяемой равенством $h_1 = a' / \cos \alpha_0$ (рис.1).

В дальнейшем для оценки деформируемости земляных русел и каналов нам понадобятся значения компонентов скоростей и давления вдольбереговых волн непосредственно в плоскости берегового откоса, на котором r принимает значения $r = (h_0 - h) / \cos \alpha_0$, где h - переменная глубина потока над береговым склоном (рис.1). Исходя из вышеприведенных решений, будем иметь:

$$u = U_0 \mp AG \sin(\sigma t \pm kx); \quad (15)$$

$$v = AG \cos(\sigma t \pm kx); \quad (16)$$

$$p = \gamma h + \gamma A \sin(\sigma t \pm kx) - \gamma \frac{U_0^2}{2g}, \quad (17)$$

где u и v - компоненты скорости движения частиц воды в произвольной точке плоскости берегового склона, направленные по этой плоскости соответственно вдоль береговой линии и ортогональной к ней; p - давление; γ - удельный вес воды; верхние знаки отвечают направлению волн против, а нижние - вдоль течения основного потока в канале, имеющего скорость U_0 ; A и G - геометрическая и частотная составляющие переменной амплитуды волны, вычисляемые при $n < 1$ по зависимостям

$$A = a_0 \frac{\cosh[k(h_0 - h) / \cos \alpha_0]}{\cosh kh_0 \cos m\alpha_0}; \quad (18)$$

$$G = \left(\frac{gk}{\cos \alpha_0} \operatorname{cth} \frac{kh_0}{\cos \alpha_0} \right)^{1/2}, \quad (19)$$

а при $n \geq 1$ - по зависимостям Стокса

$$A = a' \exp(-kh / \sin \theta_0); \quad (20)$$

$$G = (gk / \sin \theta_0)^{1/2}, \quad (21)$$

где θ_0 – угол между невозмущенной поверхностью воды и плоскостью берегового склона.

Эти зависимости могут быть положены в основу оценки устойчивости и деформируемости незакрепленных и закрепленных русел рек и каналов, подверженных волновому воздействию во вдольбереговом направлении.

2. Расчетные зависимости для оценки устойчивости и деформируемости береговых склонов канала

Продемонстрируем сказанное на частном примере оценки устойчивости и деформируемости откосов трапецидального канала, сообщающегося с морем. Приведенные выше соотношения позволяют рассмотреть статическую устойчивость частиц грунта или элементов защитных мероприятий бортов канала в следующих трех, наиболее опасных в смысле размыва, направлениях:

а) вверх, в направлении, нормальном к плоскости берегового склона, когда над элементом, лежащим на откосе, проходит подошва волны, а снизу действует фильтрационное противодействие, создаваемое усредненным (нулевым) уровнем воды в канале;

б) в направлении течения, обусловленном обтеканием частиц грунта или камней защитной наброски как основным потоком, так и вдольбереговыми волнами;

в) вниз по плоскости откоса, в перпендикулярном к береговой линии направлении, обусловленном трехмерной структурой вдольбереговых волн.

Рассмотрение по этим трем направлениям статической устойчивости частиц грунта, лежащих на береговом откосе, приводит соответственно к следующим уравнениям :

$$\gamma_s^* d^3 \cos \theta_0 + c_0 d^2 + \gamma A d^2 \sin \beta = 0 ; \quad (22)$$

$$\gamma_s^* f d^3 \cos \theta_0 + c_0 d^2 - \frac{1}{2} \bar{C} \rho d^2 (U_0 + AG)(U_0 \pm AG \sin \beta) = 0 ; \quad (23)$$

$$\gamma_s^* (f \cos \theta_0 - \sin \theta_0) d^3 + c_0 d^2 - \frac{1}{2} \bar{C} \rho d^2 (U_0 + AG) AG \cos \beta + f \gamma A |\sin \beta| d^2 = 0 , \quad (24)$$

где d – крупность частицы грунта приведенной к кубу; $\gamma_s^* = (\gamma_s - \gamma)$ – удельный вес грунта во взвешенном состоянии; γ и ρ – удельный вес и плотность воды; f – коэффициент трения ($f \approx 0.7$); c_0 – коэффициент сцепления частиц грунта; \bar{C} – коэффициент лобового сопротивления ($\bar{C} \approx 1.05$ [86]); A и G – составляющие амплитуды волны, вычисляемые по формулам (18)-(19) или (20)-(21) в зависимости от значения числа n , устанавливаемого по равенству (9); $\beta = (\sigma t - kx)$ – фаза волны, проходящей над частицей. Согласно (22) для сдвига частицы наиболее опасное значение фазы $\beta = -\pi/2$ соответствует прохождению подошвы волны над частицей; а согласно (23) – прохождению гребня волны ($\beta = \pi/2$), если направление волн совпадает с направлением стационарного течения или прохождению подошвы волны ($\beta = -\pi/2$) – в противном случае. В (24) экстремальное значение фазы волны β зависит от скорости U_0 и амплитуды волны AG . В первом приближении можно принять $\beta \approx n\pi$.

Определяя крупность d предельно устойчивых частиц грунта по вышеуказанным трем направлениям, в качестве расчетной выбираем наибольшую из них.

Следует отметить, что с ростом глубины потока h на береговом откосе ($0 \leq h \leq h_0$) резко уменьшается размывающая способность вдольбереговых волн. Например, если считать, что по каналу распространяются короткие волны и исходить из соотношений (22) и (20), то это уменьшение происходит по экспоненциальному закону. Из этих же соотношений та предельная глубина потока (h_w), при которой сила фильтрационного

противодавления уравнивается силой тяжести частицы несвязного грунта ($c_0=0$), лежащего на береговом склоне, равна

$$h_w = \frac{\lambda}{2\pi\sqrt{1+m_0^2}} \ln\left(\frac{\gamma a' \sqrt{1+m_0^2}}{\gamma_s^* d m_0}\right), \quad (25)$$

где a' – заданная или определяемая по формуле (14) амплитуда вдольбереговой волны; λ – длина волны; $m_0 = \text{ctg}\theta_0$ – первоначальное (проектное) значение коэффициента берегового откоса.

Соотношение (25) может быть положено в основу составления дифференциального уравнения контурной линии размыва берегового склона выше точки, определяемой глубиной h_w . Для этого сдвинем параллельно координатную систему, изображенную на рис.1, в точку, под которой глубина воды h_w и заменим в (25) h_w и m_0 соответственно переменными $h=f(y)$ и $m_0' = -\frac{dy}{dh}$. Примем также, что в процессе размыва амплитуда и

длина волны остаются неизменными, а величина $\sqrt{1+m_0'^2}$ принимает приближенные значения $\sqrt{1+m_0'^2} \approx m_0'$ (имея в виду, что обычно коэффициент откоса m_0' у размываемого берега в несколько раз больше единицы и, следовательно, $m_0'^2 \gg 1$). Тогда с учетом этих допущений (25) переходит в линейное дифференциальное уравнение

$$h = -\frac{\lambda}{2\pi} \frac{dh}{dy} \ln\left(\frac{\gamma a'}{\gamma_s^* d}\right). \quad (26)$$

Решение (26) при соблюдении граничного условия $h = h_w$ при $y=0$ определяет глубину воды над размывом склоном или, что то же самое, – очертание контура деформированного берегового склона.

Ниже, на рис.2 приведены результаты расчета по формулам (25) и (26) переформирования одного реально действующего земляного канала, сообщающегося с морской гаванью, и предназначенного для передвижения барж и других портовых судов. На протяжении 2 лет после ввода в эксплуатацию канала волны, создаваемые баржами, вызывали сильное искажение его первоначально трапециевидального сечения, размывая и раздвигая берега более чем на 8 м; склоны канала стали значительно пологими, а из-за заиления грунта, снятого с берегов канала, приподнялись уровни его дна, угрожая соходом.

Расчеты проведены при следующих исходных данных: первоначальное (проектное) значение коэффициента откоса $m_0 = \text{ctg}\theta_0 = 3,5$; средняя крупность зёрен грунта откосов канала $d = 0,5 \cdot 10^{-4}$ м; удельные веса воды и частиц грунта во взвешенном состоянии $\gamma = 1$ т/м³ и $\gamma_s^* = 1,6$ т/м³; длина и амплитуда вдольбереговой волны $\lambda = 4$ м и $a' = 0,35$ м. Результаты расчетов оказались в хорошем соответствии с данными натурных наблюдений по размыву берегов морского портового канала.

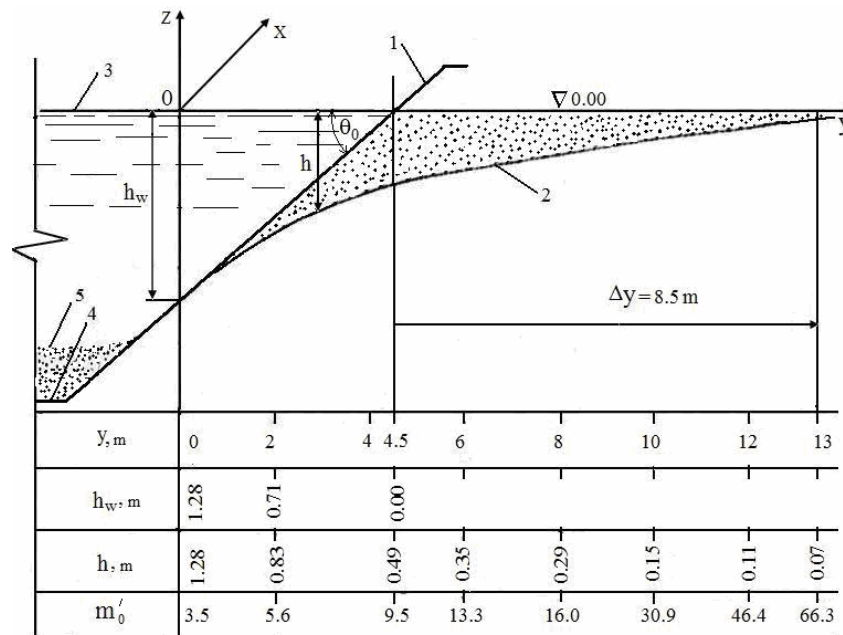


Рис. 2. Результаты расчетов деформации берегового склона канала:

1 - проектный контур берегового склона; 2 - контур размывого склона; 3 - невозмущенная поверхность потока в канале; 4 - первоначальное дно канала; 5 - грунт, осажденный на дне канала; h_w – проектная глубина воды на склоне; y – поперечная координата, отсчитанная от вертикали где $h_w = 1,28$ м; h – глубина воды на размывом склоне; m'_0 - коэффициенты откоса размывого берегового склона.

ЛИТЕРАТУРА

1. Кочин Н.Е. Собрание сочинений. Т.2. М.:Гостехиздат. 1946.
2. Ламб Г. Гидродинамика. М.: Гостехиздат. 1947.
3. Практикум по динамике океана/Под ред. А.В.Некрасова и Е.Н.Пелиновского. Санкт-Петербург: Гидрометеоиздат. 1992.
4. Гагошидзе Ш.Н. Теория установившегося волнового движения воды в прибрежных акваториях и в гидротехнических сооружениях. Автореферат дисс. на соиск. уч. степени доктора наук. Тбилиси. 1994.
5. Стокер Дж. Дж. Волны на воде. Л.: ИЛ. 1959.
6. Канторович Л.В., Крылов В.Н. Приближенные методы высшего анализа. М.: Физматгиз.1962.

Шалва ГАГОШИДЗЕ, доктор техн.наук, профессор,
Грузинский НИИ энергетики и энергетических сооружений
Тел.: (+995 32) 226260; mob.: +995 893 235293
E-mail: sh.gagoshidze@gmail.com